

浮遊砂を伴う河床変動について

鳥取大学工学部 正員 道上正規
 日本水道コンサルタント 正員 平井真砂郎
 建設省北陸地方建設局 正員 中川哲志

1.はじめに 河口部、河道内の浚渫場所あるいは貯水池などにおける河床変動は、掃流砂の外ではなく浮遊砂を考慮する必要があります。しかし、浮遊砂に関しては、掃流砂と同じような平衡状態の流砂量公式をそのまま適用して計算することはできません、非平衡性を考慮しなければならない。なぜならば、掃流砂の場合は水理量が変化しても比較的速やかにその水理量に対応した平衡状態の流速状態と行きが、浮遊砂は水理量に対応した平衡状態の流速状態に達するまでにかなりの距離を必要とするからである。また、実河川の河床材料は混合砂により構成されており、各粒径によりその挙動は異なる。そこで、本研究では浮遊砂の非平衡性と混合砂の効果を同時に考慮し、浮遊砂を伴う河床変動を実験的におよび理論的に考察してみる。

2. 実験的考察 本研究では、図-1に示すような水路で、上流端より粒度の広がりのある砂砾を一定量づつ供給し、下流部に生ずる堆積現象を解析した。通水後1時間ごとに堆積形状、水面形、流速分布、濃度分布を測定し、二小時4時間繰り返す。実験終了後、河床砂の粒度分析をT-A tube法により実測した。図-2にその堆積形状の一例を示す。二小時によれば、自配の急度のある地点を境に上流側では河床環の発生が著しく、掃流砂が卓越していることが理解され、またその下流側では比較的凹凸のないほどからかは堆積形状となつており、浮遊砂の支配的な領域であることを示してある。図-3には図-2に示したケースの通水後240分の河床砂の粒度分布を示してあり、図中の破線は給砂の粒度分布を表わしている。二小時と河床砂の粒度は上述した2つの領域における顕著に相違してあることがわかる。

3. 数値シミュレーションの基礎式 一般に2次元定常状態の浮遊砂濃度に関する基礎方程式は、

$$U \frac{\partial C}{\partial Z} = \frac{\partial}{\partial Z} \left(\varepsilon \frac{\partial C}{\partial Z} \right) + \omega_0 \frac{\partial C}{\partial Z} \quad (1)$$

で表わされる。ここで、 U は流下方向の流速、 C は浮遊砂濃度、 ε は土砂拡散係数、 ω_0 は浮遊砂の沉降速度である。これはそれが流下方向および鉛直方向の座標軸である。本研究ではこの基礎式を Crank-Nicholson型の差分スキームで implicit 差分式に変換し、上流端、水面、河床面での境界条件を与えて濃度を算定する。そして濃度と流速の積を河床面から水面まで積分して浮遊砂量を求めた。また、流砂の連続式、粒度の連続式はそれと同様、次式で与えられる。

$$\frac{\partial z}{\partial t} = -1/(1-z) \cdot \frac{\partial U}{\partial Z}$$

$$\frac{\partial b}{\partial t} + \frac{1}{B \alpha (1-z)} \left[\frac{\partial (B \alpha B)}{\partial Z} - b(t) \frac{\partial (B \alpha B)}{\partial Z} \right] = 0 \quad (2)$$

$$\frac{\partial b}{\partial t} + \frac{1}{B \alpha (1-z)} \left[\frac{\partial (B \alpha B)}{\partial Z} - b_0 \frac{\partial (B \alpha B)}{\partial Z} \right] = 0 \quad (3)$$

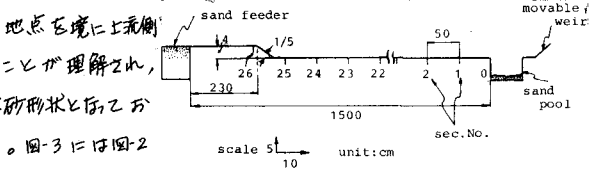


図-1

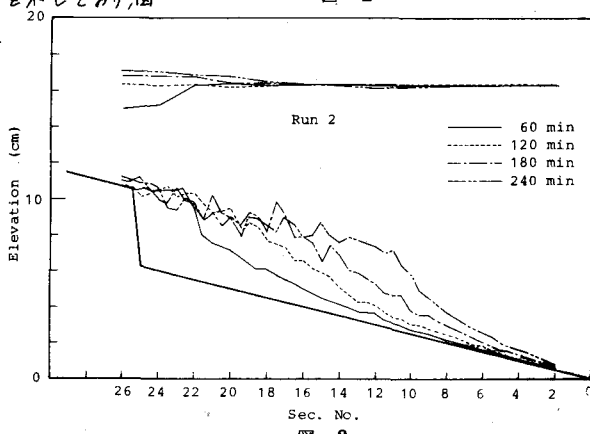


図-2

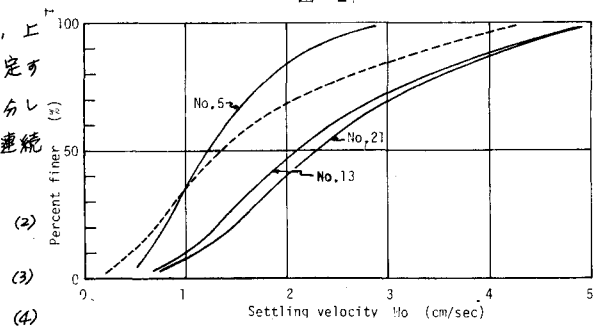


図-3

ニニに、 α : 交換層厚さ、 δt : 単位幅全流砂量、 φ_{d} : 粒径別単位幅流砂量、 λ : 実際率、 h_0, h_0^{c} : それより外交換層中の交換層直下の河床中の砂と粒径の占める割合である。計算方法は水流の運動方程式より水面形を決定し、浮遊砂量および掃流砂量を求めたのち、(2)~(4)を立てさせ河床変動を計算し、二点を微小時間でじとに繰返す。なお、平衡状態の河床付近濃度 C_s は板倉ら¹⁾の研究を参考にし、浮遊限界は $C_s = 0$ とする摩擦速度とした。また粒径別の掃流砂量は芦田道上式より算定し、交換層厚さ α としては、平均河床波高の $1/2$ 程度とする。

4. 計算結果の考察 図-4は浮遊砂濃度を求める際の河床条件の相違による堆砂形状の比較を示す。図中の破線によると示されるように河床からの浮上量とその地点の水理量に対応した平衡状態の河床付近濃度 C_s を用いた場合($\varepsilon \partial C / \partial Z = -\omega_0 C_s$)、河床からの浮上のある領域では、計算に堆砂高が実測のものより小さくなら、浮遊限界点近くに段丘が発達する。これは、平衡状態の河床付近濃度 C_s の誤差に起因していると考えられる。また、図中の一点鎖線は、浮遊砂の堆積する領域における河床からの浮上がまっすぐにならうという条件($\varepsilon \partial C / \partial Z = 0$)を用いた場合であるが、この場合の計算による堆砂形状は、流入端下流域に顯著な段丘が発達し、下流域の堆砂高も実測のものよりも大きくなっている。以上より河床からの浮上量を補正する係数を考へて、河床条件を

$$\varepsilon \partial C / \partial Z = -\omega_0 C_s \quad (5)$$

とし、その値として岡部ら²⁾の研究を参考にし、次式を用いた。

$$R = (U_{\text{kin}} - U_{\text{crit}}) / (U_{\text{kin}} - U_{\text{scr}}) \quad (6)$$

ニニに、 U_{kin} は流入端の摩擦速度、 U_{scr} は浮遊限界摩擦速度である。この条件で計算した結果、計算値と実測値は比較的よく一致する。図-5、図-6は濃度分布について、計算値と実測値を比較してみるが、流入端における两者は比較的よく一致しているものの、下流域すなわち断面No.13あたりでは、計算値は実測値よりも小さくなっている。計算上浮遊砂が急速に沈降することを示している。また、図-7は河床砂粒度の計算値と実測値であるが、これによれば、上流域、すなわちNo.21は比較的両者は一致している。一方、断面No. 5 の下流域の浮遊砂堆積領域では、計算による粒度は実測のものに比較して細粒化しており、両者の一致はあまりよくない。

5. おわりに 本研究では河床からの浮上量を補正する係数を導入することにより、堆砂形状は比較的実測値と計算値を一致させることに成功した。ただし、濃度分布および粒度分布についてはかなりの誤差が生じ、河床付近濃度 C_s には細粒径砂の掃流砂量等の検討が必要である。参考文献 1) Itakura et al.: Proc. ASCE, Vol. 106, No. HY-8, 1980. 2) 岡部他: 21回木講, 1977

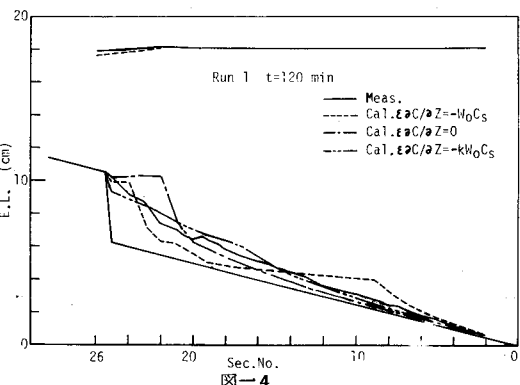


図-4

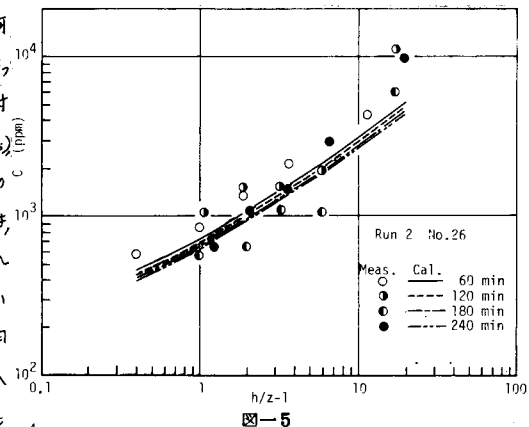


図-5

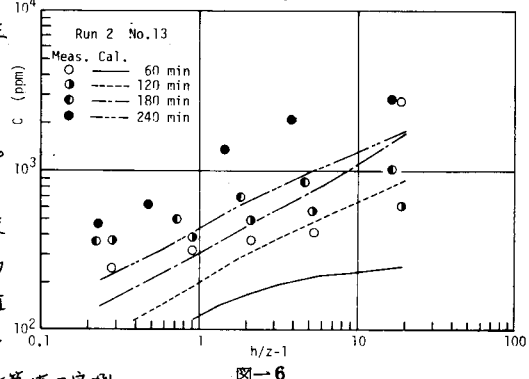


図-6

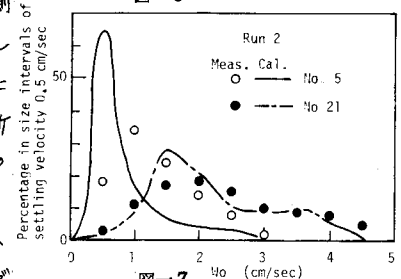


図-7